

دراسة عدديّة لانتقال الحرارة بالحمل الطبيعي لتجويف مسامي يحتوي على حاجز وجسم مربع المقطع باستخدام نموذج غير متزن حراريًّا

رامز إبراهيم سعيد العبوشي

مدرس مساعد

كلية الهندسة - قسم الهندسة الميكانيكية - جامعة الموصى

الخلاصة

في هذا البحث تم اجراء دراسة عدديّة لانتقال الحرارة بالحمل الطبيعي بين جدران تجويف محقّقة بدرجة حرارة عالية وجسم مربع المقطع متتركز داخل التجويف ويحتفظ بدرجة حرارة منخفضة . التجويف مملوء بوسط مسامي مشبع في حالة لاتزان حراري بين الجزء الصلب والمائع ، مع وجود حاجزين اديبياتيين ملصوقين على الجدران العموديّة للتجويف .

المعادلات المتحكمة بالمسألة والتي تتضمن : معادلات الاستمرارية والزخم والطاقة ، تم حلها باستخدام طريقة الفروق المحددة مع طريقة كاووس - سيدل المتداوبة . اجريت هذه الدراسة تحت تأثير اربع متغيرات لا بعدية باعتبارها المعلمات الرئيسية للمسألة وتنتمي : عدد رايلي المطمور ($0 \leq Ra^* \leq 1000$) ، معامل انتقال الحرارة المدرج ($0.1 \leq H \leq 100$) ، نسبة التوصيلية الحراريّة ($0.1 \leq Kr \leq 100$) ، و موقع الحاجزين على الجدران العموديّة نسبة لعرض التجويف ($yp = 0.25, 0.5, 0.75$) . تم تمثيل النتائج بدلاة خطوط الانسياب وخطوط درجات الحرارة للجزئين (الصلب والمائع) وعرض العلاقة بين معدل عدد نسلت مع عدد رايلي . اتضحت من الدراسة ان زيادة عدد رايلي المطمور يؤدي الى زيادة عدد نسلت للجزء الصلب وعدد نسلت للجزء المائع وعدد نسلت الكلّي ، وقد لوحظ ان تأثير نسبة التوصيلية الحراريّة على عدد نسلت يكون شاملًا في حين يقتصر تأثير معامل انتقال الحرارة المدرج على عدد نسلت للجزء الصلب . اما بالنسبة لموضع الحاجزين فقد تبين بأنه كلما تحركت باتجاه الاعلى تكون كمية انتقال الحرارة اعلى اي ان اعلى انتقال حرارة يكون عندما يكون موقع الحاجزين الافقين في اعلى التجويف ولجميع الحالات . (الكلمات الدالة: وسط مسامي ، انتقال حراري ، انتقال الحرارة ، الحمل الطبيعي)

Numerical Study of Natural Convection Heat Transfer of Porous Cavity contains Partitions and Square body by Using Thermal Non-Equilibrium Model

Ramiz Ibraheem Saeed Al-Abushi

Assistant Lecture

Department of Mechanical Engineering -University of Mosul - Iraq

Abstract

In this research, natural convective heat transfer between hot walls of cavity and a cold body with square section concentric in cavity is studied numerically. The cavity is filled with a saturated porous medium with thermally non-equilibrium between the solid and fluid phases. Two adiabatic partitions attached to the walls of cavity .The governing equations include continuity, momentum and energy equations are solved by using finite difference method with Gauss-Seidle iterative method.

This investigation was performed under the effect of four non-dimensional groups which defined as : modified Rayleigh number ($100 \leq Ra \leq 1000$), scaled heat transfer coefficient ($0.1 \leq H \leq 100$), thermal conductivity ratio ($0.1 \leq Kr \leq 100$) and the location of the partitions with respect to the length of the cavity ($Yp = 0.25, 0.5, 0.75$). The results were presented in terms of streamlines and isotherms of fluid and solid phases and the relations between Nusselt number variation with modified Rayleigh number .The Nusselt number in each phases(solid and liquid) and total Nusselt number are found to be increased proportionally due to the increasing in modified Rayleigh number. The effect of thermal conductivity ratio on Nusselt number was comprehensive while scaled heat transfer coefficient was confined to solid phase Nusselt number. Also the results showed that when the two partitions moved towards upper part of cavity , the quantity of heat transfer is to be larger and the maximum heat transfer is to be when the horizontal partitions in the upper part of the cavity in all cases .

key words: porous medium,thermal non-equilibrium, heat transfer, natural convection.

قائمة الرموز

<u>الرمز</u>	<u>التعريف</u>	<u>الوحدة</u>
C	السعة الحرارية النوعية	J/kg.K
Da	عدد دارسي	---
g	التعجيل الأرضي	m/s ²
H	معامل انتقال الحرارة المدرج	---
h	معامل انتقال الحرارة بين الطورين الصلب والمائع للوسط	W/m ² .K
K	النفاذية للوسط المسامي	m ²
K _r	نسبة التوصيلية الحرارية المؤثرة	---
k	الموصلية الحرارية	W/m.K
L	عرض التجويف	m
Nu	عدد نسلت	---
p	الضغط	N/m ²
Q	معدل انتقال الحرارة	W
q"	الفيض الحراري	W/m ²
Ra	عدد رالي	---
Ra*	عدد رالي المطمور	---
T	درجة الحرارة المطلقة	K
ΔT	الفرق في درجات الحرارة	K
u	سرعة المائع باتجاه الإحداثي x	m/s
v	سرعة المائع باتجاه الإحداثي y	m/s
(x,y)	الإحداثيات الديكارتية	m
<u>الرموز الاغريقية</u>		
α	الانتشارية الحرارية الفعالة للوسط المسامي	m ² /s
β	معامل التمدد الحراري الحجمي	K ⁻¹
θ	درجة الحرارة الابعدية = $(T-T_c)/(T_h-T_c)$	---
μ	اللزوجة الديناميكية	kg/m.s
η	أي كمية اعتباطية	---
ρ	الكثافة	kg/m ³
ψ	دالة الانسياب	---
φ	المسامية	---
<u>الرموز السفلية الدليلية</u>		
c	السطح البارد	m ² /s
e	الفعالة	kg/m.s
f	المائع	kg/m ³
h	السطح الساخن	kg/m ² .K
o	ظروف الوسط	kg/m.s
T	القيمة الكلية	kg/m.s
<u>الرموز الطوبية الدليلية</u>		
^	الابعدية	^-
-	المعدل	^-

المقدمة والدراسات السابقة

ان موضوع الحمل الطبيعي في الوسط المسامي اصبح موضوع مهم جدا نظرا لكثرة التطبيقات في كثير من المجالات الصناعية وطاقة باطن الارض وصناعة البترول [1] وكذلك في مجال ميكانيك المواقع ومجال المياه الجوفية وهندسة الري [2] والمعضلات الكيميائية والصناعات النووية [3] .

يمكن تصنيف الدراسات والمراجع الى ثلاثة انواع من الدراسات : النوع الاول الدراسات المتمثلة عن التجاويف المستطيلة مع وجود وعدم وجود الحواجز والنوع الثاني عن الاوسمات المغمورة في الاوسمات المسامية والنوع الاخير عن الدراسات الخاصة عن حالة الالاتزان الحراري الموقعي .
النوع الاول من الدراسات تضمن :

استخدم Chan [4] وجماعته نموذج برينكمان Brinkman model لدراسة عدبية ثنائية بعد ولحالة الاستقرار للحمل الطبيعي في وسط مسامي مشبع بغاز ومحصور داخل تجويف مستطيل الشكل . الجدران الاقية كانت معزولة اما الجدران العمودية فكانت ثابتة درجة الحرارة و مختلفة واحدة عن الاخرى . تبين من الدراسة ان كمية الحرارة المنتقلة هي دالة من ثلاثة عواملات : عدد داري و عدد رايلي و نسبة الطول الى العرض . وان كمية الحرارة لعدد رايلي تزداد بزيادة نسبة الطول الى العرض الى ان تصل الى اعلى قيمة ثم ترجع فتتناقص مرة ثانية ، ويمكن اخذ نسبة الطول الى العرض بما يقارب (1.5) لجميع اعداد رايلي التي تجعل كمية الحرارة المنتقلة اكبر ممكناً .

اما Prasad [3] فقد درس الحمل الطبيعي دراسة عدبية ثنائية بعد لحالة الاستقرار لتجويف مستطيل مشبع بوسط مسامي ذي توليد حراري . الجدران العمودية للتجويف كانت ذات درجة حرارة ثابتة ومنخفضة اما الجدران الاقية اخذت حالتين ثابتة منخفضة واخرى معزولة . نتائج هذه الدراسة تمثلت بان درجة الحرارة العظمى في التجويف تقل عن التحول من الظروف الحدية المعزولة الى الباردة ويقل الفرق بين الاثنين بزيادة عدد رايلي ويقل هذا الفرق كثيراً بزيادة نسبة الطول الى العرض واخيراً استنتج بان معدل عدد نسلت هو دالة قوية من عدد رايلي ونسبة الطول الى عرض التجويف والظروف الحدية .

درس الباحث Hussein [5] تأثير حاجز اديبatic مثبت افقيا داخل وسط مسامي مستطيل الشكل . الحيز ذي جوانب مسخنة عند درجة حرارة ثابتة مختلفة من سطح لآخر بينما الاسطح الاقية معزولة . كانت الدراسة تتضمن تغيير طول الحاجز وموقعه اضافة الى تغيير عدد رايلي وعامل القصور الذاتي . قام الباحث باستخدام برنامج عددي لحل المسالة بطريقة الفروق المحددة مع طريقة كاووس سيدل المتداوبة . استنتاج الباحث ان الحاجز يسبب اخماد للحمل الطبيعي ويقل من انتقال الحرارة مقارنة مع الحالة بدون حاجز كما لاحظ ان زيادة عامل القصور الذاتي يؤدي الى نقصان في عدد نسلت .

درس الباحث Al-Timemy [6] عدباً تأثير الحاجز الاديباتي على انتقال الحرارة بالحمل الطبيعي ضمن جريان دراسي لوسط مسامي وكان الحيز ذو جوانب مسخنة ثابتة و مختلفة من سطح لآخر بينما الاسطح الاقية معزولة حرارياً . تم تثبيت عدد من الحواجز بشكل عمودي على السطح السفلي للوسط . استخدم الباحث طريقة الفروق المحددة لحل المسالة معتمداً على تغيير طول الحاجز وموقعه وتم تمثيل النتائج بدالة خطوط الانسياب وخطوط ثبوت درجات الحرارة . استنتاج الباحث ان زيادة طول الحاجز تؤدي الى نقصان في كمية الحرارة المنتقلة كما ان الحرارة تتأثر بطول الحاجز اكثر من التغيير في موقعه .

الدراسات التي تضمنت الاوسمات المغمورة في الاوسمات المسامية :

قام الباحث Al-ani [7] بدراسة عدبية لانتقال الحرارة بالحمل الطبيعي من جسم مستطيل ايزوثرمي مغمور في وسط مسامي مشبع محصور في تجويف مستطيل الشكل . وكانت الدراسة لحالة الاستقرار والالاتزان الحراري بين الجزء الصلب والمائع للوسط . وكان مجال عدد رايلي ($0 \leq Ra \leq 500$) وقد اتخاذ اعداد مختلفة لحجم الجسم . تبين من هذه الدراسة اعتمادية عدد نسلت على عدد رايلي المطورو وبعد الجسم والظروف الحدية .

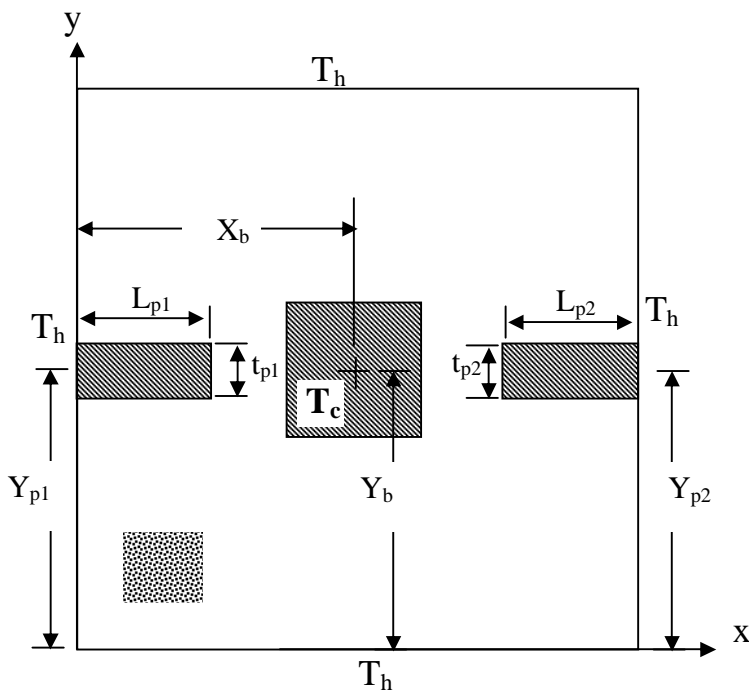
للقليل من انتقال الحرارة من اسطوانة مغمورة في وسط مسامي شبه غير محدد قام الباحث Facas [8] بدراسة عدبية للقليل من كمية الحرارة وذلك بربط حواجز او عوارض طولية ممتدة على طول سطح الاسطوانة ، وهذه الحواجز مصنوعة من مادة غير معدنية وذلك لكي لا تؤدي الى عائق طولي . اظهرت النتائج بان كمية الحرارة تقل عند مقارنتها مع عدم وجود الحاجز وعند استخدام طول حاجز نسبة الى نصف قطر الاسطوانة ($L/R=2$) يؤدي الى حفظ الطاقة بمقدار (22%) واخيراً استنتاج بان معدل عدد نسلت هو دالة من طول الحاجز وعمق الانغمار للاسطوانة .

الدراسات عن حالات الالاتزان الحراري الموضعي :

قام الباحث Radhi [9] بدراسة عدديه لانقال الحرارة بالحمل الطبيعي في حيز مسامي غير متزن حراريا لنموذج الجريان الداري. الحيز المسامي كان مسخن من الاسفل بدرجة حرارة ثابتة (T_h) مع تثبيت درجة حرارة السطح العلوي (T_c) اما الجدران الجانبية فقد فرضت معزولة حراريا. تبين من الدراسة بان تأثير نسبة التوصيلية الحرارية على خطوط الانسياب وتوزيع درجات الحرارة يكون اقوى من تأثير معامل انتقال الحرارة المدرج ، كما تبين بان القيم الحرجة من عدد رايلي المطور تعتمد على قيم نسبة التوصيلية الحرارية ومعامل انتقال الحرارة المدرج . واتضح من الدراسة بان زيادة عدد رايلي تؤدي الى زيادة عدد نسلت للجزء الصلب والمائع وعدد نسلت الكلي وقد لوحظ بان تأثير نسبة التوصيلية الحرارية على اعداد نسلت يكون شاملا في حين يقتصر تأثير معامل انتقال الحرارة المدرج على عدد نسلت للجزء الصلب .

كذلك فقد قام الباحث Saeid [10] باخذ طبقة مسامية موضوعة بصورة شاقولية وتختضع لجريان مائع في هالتين اولهما عندما يكون اتجاه الحمل الطبيعي والاخرى بالاتجاه المقايد للحمل الطبيعي في كلتا الحالتين تنتقل الحرارة بالحمل المختلط (حمل قسري + حمل طبيعي). استنتج الباحث ان معدل عدد نسلت الكلي يقل بزيادة معامل انتقال الحرارة عندما يكون عدد بيكلت صغيرا في حين يحصل العكس عند القيم العالية لعدد بيكلت ، كما تبين ايضا ان عدد نسلت الكلي يعتمد على نسبة التوصيلية الحرارية اكثر من اعتمامده على معامل انتقال الحرارة المرج .

في البحث الحالي ستم دراسة انتقال الحرارة بالحمل الطبيعي عن جسم مربع الشكل مغمور داخل تجويف ذو درجة حرارة ثابتة (T_h) يحتوي على وسط مسامي مشبع بمائع وفي حالة لا اتران حراري بين الجزأين الصلب والمائع ، وتكون درجة حرارة الجسم المغمور في الوسط المسامي ذو درجة حرارة ثابتة (T_c) اي يكون انتقال الحرارة من محيط التجويف ذو درجة الحرارة العالية الى الجسم المغمور ذو الدرجة المنخفضة. كذلك سيتم استخدام حاجزين طوليين ملصوقين على الجدران العمودية للتجويف، والشكل (1) يوضح الشكل الهندسي للمسألة مع الظروف الافتراضية .



الشكل (1) الشكل الهندسي للمسألة

التمثيل الفيزيائي الفرضيات

- 1 ان جريان المائع يخضع لقانون دارسي
- 2 المائع داخل المسامات لا يكون في حالة اتزان حراري مع الصوفوف الصلبة للوسط المسامي وبهذا فان كل جزء يمتلك درجة حرارة مختلفة عن الجزء الآخر .
- 3 اعتبار الوسط المسامي متجانسا ، وبهذا تكون الصوفوف الصلبة والمائع المناسب خلال المسامات موزعة بشكل منتظم
- 4 جريان المائع وانتقال الحرارة لا يتغيران نسبة الى الزمن ، اي حالة الاستقرار .
- 5 الخواص الحرارية للصوفوف الصلبة تختلف عن تلك التي يمتلكها المائع المشبع للمسامات .
- 6 الخواص الحرارية للمائع تفرض على انها ثابتة ماعدا الكثافة فانها تتغير مع درجة الحرارة طبقا لنقريب بوسينسك(1)
- $\rho_f = \rho_{f_0} [1 - \beta(T_f - T_0)]$ (2)
- $\beta = \frac{-1}{\rho} \left(\frac{\partial \rho}{\partial T} \right)_P$ (2)
- 7 الحرارة المتبددة بتاثير الزوجة مهملة .
- 8 جميع الجدران للحيز والجسم غير نفاذة للمائع .

المعادلات المتحكمة

1- معادلة الاستمرارية :

هي معادلة تقاضلية جزئية مشتقة من معادلة حفظ الكتلة ، وبفرض المائع لانضغاطي وذات بعدين ومستقر ومتتساوي الخواص في جميع الاتجاهات تكون معادلة الاستمرارية كالاتي : -

$$\frac{\partial u}{\partial x} + \frac{\partial v}{\partial y} = 0 \quad \dots\dots\dots(3)$$

2- معادلة حفظ الزخم

وتنتمي بقانون دارسي لحفظ الزخم باتجاهين ، فمركبة الزخم بالاتجاه الافقى يكون على النحو الاتي :

$$u + \frac{K}{\mu} \left[\frac{\partial p}{\partial x} \right] = 0 \quad \dots\dots\dots(4)$$

اما معادلة الزخم بالاتجاه العمودي فهي :

$$v + \frac{K}{\mu} \left[\frac{\partial p}{\partial y} + \rho_f g \right] = 0 \quad \dots\dots\dots(5)$$

حيث K هو ثابت قياسي يدعى معامل النفاذية

وبتعويض معادلة(1) في معادلة(5) نحصل على الاتي :

$$v + \frac{K}{\mu} \left[\frac{\partial p}{\partial y} + \rho_{f_0} g [1 - \beta(T_f - T_0)] \right] = 0 \quad \dots\dots\dots(6)$$

وللحصول على الصيغة النهائية لقانون دارسي باتجاهين ، سنستنق المعادلة (6) نسبة الى y والمعادلة (4) نسبة الى x ثم نطرح الناتج الاخير من الاول ونحصل على معادلة الزخم :

$$\frac{\partial u}{\partial y} - \frac{\partial v}{\partial x} = - \frac{\rho_0 g \beta K}{\mu} \frac{\partial T_f}{\partial x} \quad \dots\dots\dots(7)$$

3- معادلة حفظ الطاقة :

يمتلك الوسط المسامي غير المتزن حراريا معادلتين للطاقة وفقا لنظام الجزئين (الصلب والمائع) فمعادلة الطاقة للجزء المائع تكون كالاتي :

$$(\rho c_p)_f \left[u \frac{\partial T_f}{\partial x} + v \frac{\partial T_f}{\partial y} \right] = \phi k_f \left[\frac{\partial^2 T_f}{\partial x^2} + \frac{\partial^2 T_f}{\partial y^2} \right] + h(T_s - T_f) \quad \dots\dots\dots(8)$$

اما معادلة الطاقة للجزء الصلب تكون :-

$$(1-\phi)k_s \left[\frac{\partial^2 T_s}{\partial x^2} + \frac{\partial^2 T_s}{\partial y^2} \right] + h(T_f - T_s) = 0 \quad \dots\dots(9)$$

اذ ان الرموز السفلية f,s تمثل الجزءين الصلب والمائع على التوالي ، و h يمثل معامل انتقال الحرارة بين الطورين الصلب والمائع و k يمثل التوصيلية الحرارية .

الصيغة الابعدية

يجب وضع المعادلات الخاصة بالصيغة الابعدية والفائدة من ذلك هو لتقليل عدد المعاملات في النتائج وجعل تحويل المعادلات الى طريقة الفروق المحددة اسهل (اي ان عدد المجاهيل اقل) وكذلك الفائدة الاخرى وهي لغرض التصميم بالاعتماد على الابعدية جميع الابعاد مقاسة نسبة الى عرض التجويف L .

$$\hat{X} = \frac{X}{L}, \quad \hat{Y} = \frac{Y}{L}, \quad \hat{L}_b = \frac{L_b}{L}, \quad \hat{X}_b = \frac{X_b}{L}, \quad \hat{Y}_b = \frac{Y_b}{L} \quad \dots\dots(10)$$

$$\hat{L}_{p1} = \frac{L_{p1}}{L}, \quad \hat{L}_{p2} = \frac{L_{p2}}{L}, \quad \hat{t}_{p1} = \frac{t_{p1}}{L}, \quad \hat{t}_{p2} = \frac{t_{p2}}{L}, \quad \hat{y}_{p1} = \frac{y_{p1}}{L}, \quad \hat{y}_{p2} = \frac{y_{p2}}{L} \quad \dots\dots(11)$$

درجة الحرارة الابعدية للمائع والجزء الصلب هي نسبة الى درجة الحرارة العالية للتجويف ودرجة الحرارة المنخفضة للجسم المربع

$$\theta_f = \frac{T_f - T_c}{T_h - T_c}, \quad \theta_s = \frac{T_s - T_c}{T_h - T_c} \quad \dots\dots(12)$$

اما دالة الجريان معرفة في حد مرکبة السرعة التي سبق ذكرها في معادلة الاستمرارية كالاتي

$$u = -\frac{\partial \psi}{\partial y}, \quad v = \frac{\partial \psi}{\partial x} \quad \dots\dots(13)$$

$$\hat{\psi} = \frac{\psi}{\alpha_f} \quad \dots\dots(14)$$

وبعد استخدام هذه المتغيرات وتعويضها في معادلة الزخم تصبح كالاتي :-

$$\frac{\partial^2 \hat{\psi}}{\partial \hat{x}^2} + \frac{\partial^2 \hat{\psi}}{\partial \hat{y}^2} = Ra^* \frac{\partial \theta_f}{\partial \hat{x}} \quad \dots\dots(15)$$

اذ ان * Ra هو عدد رايلي المطمور والذي يمثل حاصل ضرب عدد رايلي الاعتيادي Ra الخاص بالمائع بعد دارسي Da

$$Ra^* = Ra \times Da = \left(\frac{K}{L^2} \right) \cdot \left(\frac{\rho_f g \beta L^3 (T_h - T_c)}{\phi \mu \alpha_f} \right) = \frac{\rho_f g \beta K L \Delta T}{\phi \mu \alpha_f} \quad \dots\dots(16)$$

وبالتالي فان عدد رايلي المطمور يمثل نسبة القوة الطفوئية الى قوة الاعاقه للوسط المسامي .

اما معادلة الطاقة بدالة الصيغة الابعدية للمائع فتكون كالاتي :-

$$\frac{\partial \hat{\psi}}{\partial \hat{x}} \frac{\partial \theta_f}{\partial \hat{y}} - \frac{\partial \hat{\psi}}{\partial \hat{y}} \frac{\partial \theta_f}{\partial \hat{x}} = \frac{\partial^2 \theta_f}{\partial \hat{x}^2} + \frac{\partial^2 \theta_f}{\partial \hat{y}^2} + H(\theta_s - \theta_f) \quad \dots\dots(17)$$

حيث ان H هو معامل انتقال الحرارة المدرج ويعبر عنه بالصيغة الاتية :-

$$H = \frac{h L^2}{\phi k_f} \quad \dots\dots(18)$$

اما بالنسبة للجزء الصلب من الوسط المسامي فتكون معادلة الطاقة الابعدية كالاتي :-

$$\frac{\partial \theta_s}{\partial \hat{x}^2} + \frac{\partial \theta_s}{\partial \hat{y}^2} + HK_r(\theta_f - \theta_s) = 0 \quad \dots\dots(19)$$

العبوشى : دراسة عدديّة لانتقال الحرارة بالحمل الطبيعي لتجويف مسامي يحتوي على حواجز وجسم مربع

- إذ ان K_1 تتمثل نسبة التوصيلية الحرارية المؤثرة للماء الى نسبة التوصيلية الحرارية للجزء الصلب للوسط المسامي :-

$$K_r = \frac{\phi k_f}{(1-\phi)k_s} \quad \dots\dots(20)$$

الظروف الحدية الابعدية بالنسبة لجدران التجويف هي :-

$$at \quad \dot{x} = 0 \quad , \quad 1 \quad any \quad \dot{y} \quad \psi = 0.0 , \theta_f = \theta_s = 1 \quad(21)$$

$$at \quad \hat{y} = 0 \quad , \quad 1 \quad any \quad \hat{x} \quad \psi = 0.0 \, , \, \theta_f = \theta_s = 1 \quad(22)$$

الظروف الحدية الابعدية للجسم :-

$$at \hat{x} = \hat{x}_b - \frac{L_b}{2} \& \hat{x} = \hat{x}_b + \frac{L_b}{2}, \left(\hat{y}_b - \frac{L_b}{2} \right) \leq \hat{y} \leq \left(\hat{y}_b + \frac{L_b}{2} \right) \quad \psi = 0, \theta_f = 0, \theta_s = 0 \quad (23)$$

$$at \hat{y} = \hat{y}_b - \frac{L_b}{2} \& \hat{y} = \hat{y}_b + \frac{L_b}{2}, \left(\hat{x}_b - \frac{L_b}{2} \right) < \hat{x} < \left(\hat{x}_b + \frac{L_b}{2} \right) \quad \psi = 0, \theta_f = 0, \theta_s = 0 \quad (24)$$

الظروف الحدية للحواجز الافقية : -

ال حاجز الاول :-

$$at \hat{y} = \hat{y}_{p1} - \frac{t_{p1}}{2} \& \hat{y} = \hat{y}_{p1} + \frac{t_{p1}}{2} , 0 \leq \hat{x} \leq L_{p1} \quad \hat{y} = 0, \frac{\partial \theta_f}{\partial \hat{y}} = 0, \frac{\partial \theta_s}{\partial \hat{y}} = 0 \quad(25)$$

$$at \hat{X} = L_{p1}, \hat{y}_p - \frac{\hat{t}_{p1}}{2} < \hat{y} < \hat{y}_p + \frac{\hat{t}_{p1}}{2} \quad \hat{\psi} = 0, \frac{\partial \theta_f}{\partial \hat{X}} = 0, \frac{\partial \theta_s}{\partial \hat{X}} = 0 \quad(26)$$

ال حاجز الثاني :-

$$at \hat{y} = \hat{y}_{p_2} - \frac{t_{p_2}}{2} \& \hat{y} = \hat{y}_{p_2} + \frac{t_{p_2}}{2} , L - L_{p_2} \leq \hat{x} \leq L \quad \hat{\psi} = 0, \frac{\partial \theta_f}{\partial \hat{y}} = 0, \frac{\partial \theta_s}{\partial \hat{y}} = 0 \quad(27)$$

$$at \dot{x} = L - L_{p_2}, \dot{y}_p - \frac{\hat{t}_{p_2}}{2} < \dot{y} < \dot{y}_p + \frac{\hat{t}_{p_2}}{2} \quad \dot{\psi} = 0, \frac{\partial \theta_f}{\partial \hat{x}} = 0, \frac{\partial \theta_s}{\partial \hat{x}} = 0 \quad(28)$$

ان الطريقة العددية المستخدمة لاجداد دالة الانسياب وتوزيع درجات الحرارة في التجويف المسامي هي تقنيات الفروق المحددة والتي تطبق لحل المعادلات المتحكمة واساس هذه التقنية هو استخدام التقريب لجميع المشتقات في المعادلات التفاضلية الجزئية وذلك عن طريق فتح معادلة تيلر Taylor series expansion

حساب عدد نسلت :-

ان أهمية عدد نسلت في مسائل انتقال الحرارة ناتجة عن كونه يمثل مؤشراً لكمية الحرارة المنتقلة بالحمل ، وبصورة عامة فان عدد نسلت يمثل النسبة بين كمية الحرارة المنتقلة في حالة الحمل إلى كمية الحرارة المنتقلة في حالة التوصيل التام ، ولابد ان نشير هنا إلى ان لكل جزء من جزأي الوسط المسامي عدد نسلت الخاص به طبقاً لفرضية الاتزان الحراري ، فعدد نسلت الموقعي للجزء المائع يحسب بالصيغة الآتية :

$$Nu'_f = \frac{q''_f L}{k} = \frac{k_f L \left(\frac{\partial T_f}{\partial y} \right)_{y=0}}{k_f (T_f - T_c)} = \left(\frac{\partial \theta_f}{\partial y} \right)_{y=0} \quad(29)$$

وبالطريقة نفسها نعبر عن عدد نسلت الموقعي للجزء الصلب بالصيغة:

$$Nu'_s = \left(\frac{\partial \theta_s}{\partial y} \right)_{y=0} \quad \dots\dots(30)$$

اما عدد نسلت الكلي عند الجدار السفلي فيحسب موجياً بالصيغة الآتية :-

$$\begin{aligned} Nu'_T &= \frac{q''_r L}{\Delta T \{ \phi k_f + (1-\phi) k_s \}} = \frac{L \left[\phi k_f \left(\frac{\partial T_f}{\partial y} \right)_{y=0} + (1-\phi) k_s \left(\frac{\partial T_s}{\partial y} \right)_{y=0} \right]}{\Delta T \{ \phi k_f + (1-\phi) k_s \}} = \left(\frac{\partial \theta_f}{\partial y} \right)_{y=0} \\ &= \frac{1}{1+K_r} \left[K_r \left(\frac{\partial \theta_f}{\partial y} \right)_{y=0} + \left(\frac{\partial \theta_s}{\partial y} \right)_{y=0} \right] \quad \dots\dots(31) \end{aligned}$$

ولحساب معدل عدد نسلت نقوم بإجراء التكامل المحدد :

$$Nu_f = \int_{\hat{x}=0}^{\hat{x}=1} \left(\frac{\partial \theta_f}{\partial y} \Big|_{\hat{y}=0} + \frac{\partial \theta_f}{\partial \hat{y}} \Big|_{\hat{y}=1} \right) d\hat{x} + \int_{\hat{y}=0}^{\hat{y}=1} \left(\frac{\partial \theta_f}{\partial \hat{x}} \Big|_{\hat{x}=0} + \frac{\partial \theta_f}{\partial \hat{x}} \Big|_{\hat{x}=1} \right) d\hat{y} \quad \dots\dots(32)$$

$$Nu_s = \int_{\hat{x}=0}^{\hat{x}=1} \left(\frac{\partial \theta_s}{\partial y} \Big|_{\hat{y}=0} + \frac{\partial \theta_s}{\partial \hat{y}} \Big|_{\hat{y}=1} \right) d\hat{x} + \int_{\hat{y}=0}^{\hat{y}=1} \left(\frac{\partial \theta_s}{\partial \hat{x}} \Big|_{\hat{x}=0} + \frac{\partial \theta_s}{\partial \hat{x}} \Big|_{\hat{x}=1} \right) d\hat{y} \quad \dots\dots(33)$$

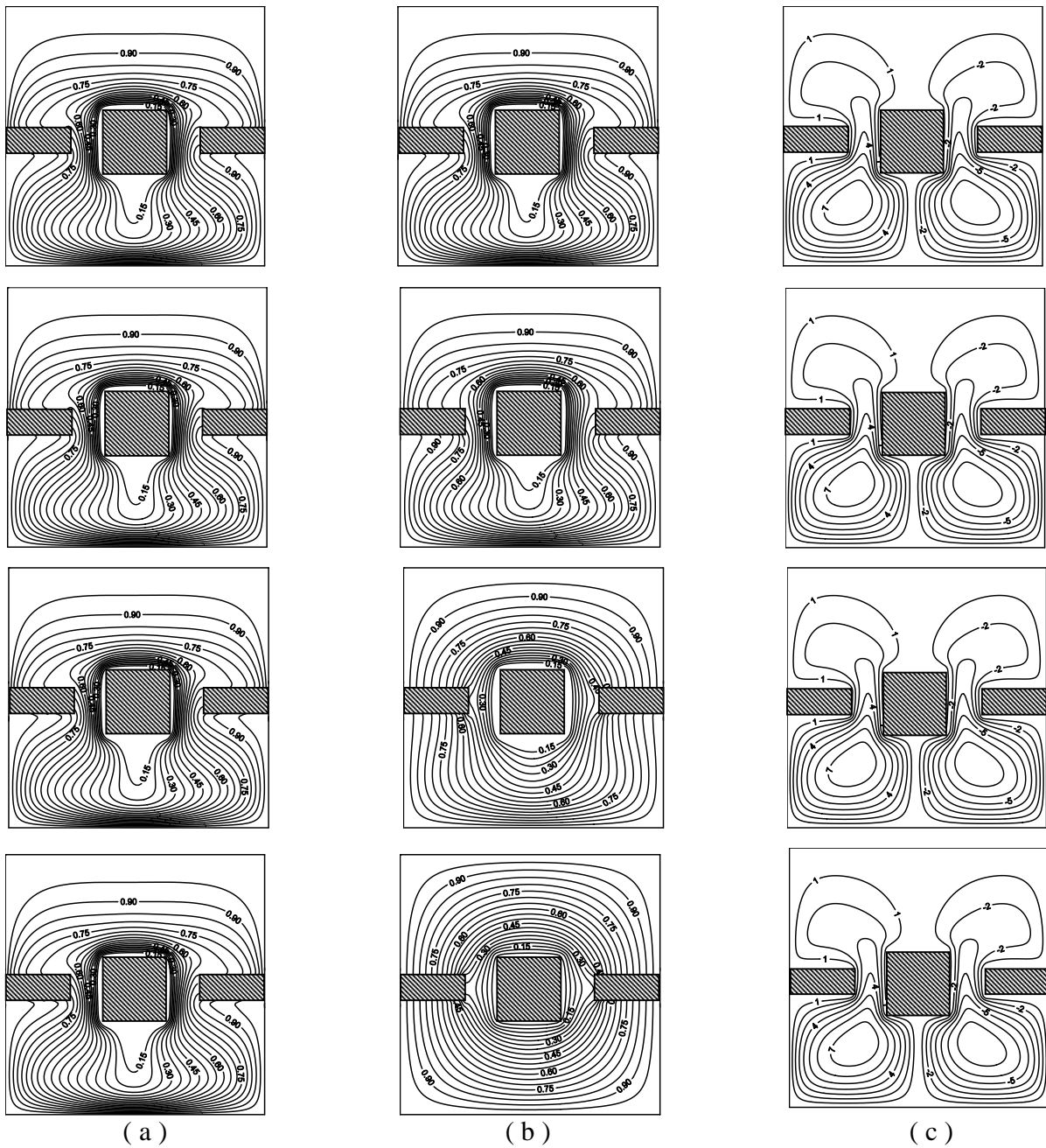
$$\begin{aligned} Nu_T &= \frac{1}{(1+K_r)} \int_{\hat{x}=0}^{\hat{x}=1} \left\{ K_r \left(\frac{\partial \theta_f}{\partial y} \right)_{y=0} + \left(\frac{\partial \theta_s}{\partial y} \right)_{y=0} \right\} d\hat{x} + \frac{1}{(1+K_r)} \int_{\hat{y}=0}^{\hat{y}=1} \left\{ K_r \left(\frac{\partial \theta_f}{\partial x} \right)_{x=0} + \left(\frac{\partial \theta_s}{\partial x} \right)_{x=0} \right\} d\hat{y} \\ &= \frac{1}{(1+K_r)} (K_r Nu_f + Nu_s) \quad \dots\dots(34) \end{aligned}$$

النتائج والمناقشة :

في هذا الجزء سيتم عرض نتائج الحل العددي ومناقشتها والتي تتضمن مجالات درجات الحرارة على شكل خطوط ثبوت درجات الحرارة (isotherms lines) ومجال السرعة تمثل بخطوط الانسياب (streamliens) وكذلك سيتم عرض الرسوم البيانية لعلاقات معدل عدد نسلت للجزء المائع والصلب والكلي وتغيره مع عدد رايلى . شملت النتائج قيم مختلفة من المعلمات الرئيسية لمسألة البحث : عدد رايلى المطور (100-1000) معامل انتقال الحرارة المدرج (100-0.1)، نسبة التوصيلية الحرارية (0.1-100) وثلاثة مواقع للحاجزين الأفقيين ($Y_p=0.25, 0.5, 0.75$). كما تم استخدام سماكة الحاجز الاول مساوية لسمك الحاجز الثاني (0.1) نسبة إلى عرض التجويف .

مجال خطوط درجات الحرارة وخطوط الانسياب

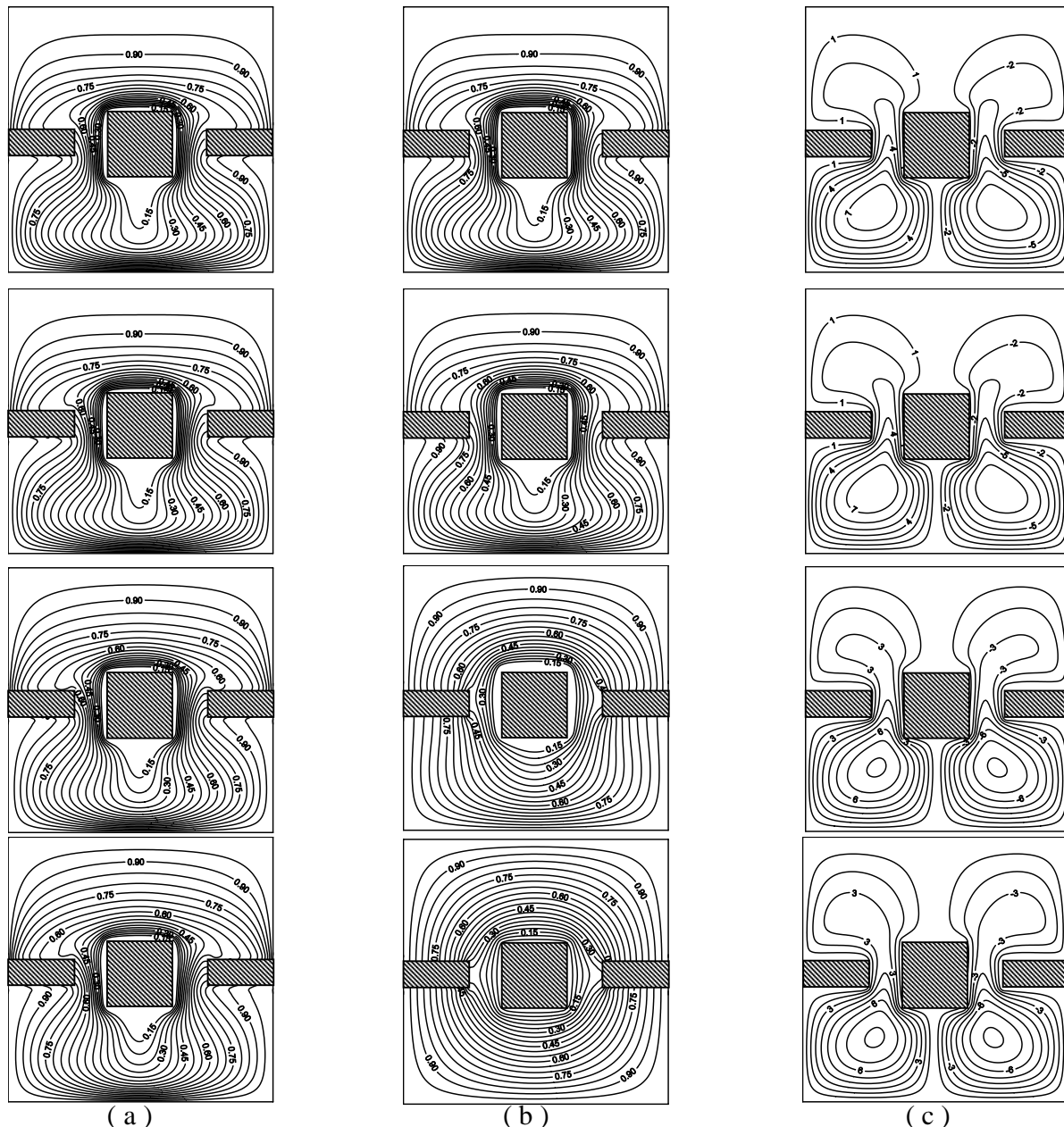
يبين الشكل (2) مدى تأثير معامل انتقال الحرارة المدرج على كل من خطوط الانسياب وتوزيع درجات الحرارة للجزأين الصلب والمائع ، اخذت هذه الحالة عند عدد رايلى ($Ra=300$) وموقع الحاجزين في وسط التجويف ($Y_p=0.5$) وقيمة التوصيلية الحرارية ($K_r=100$) ، يتضح من الشكل عندما يكون معامل انتقال الحرارة المدرج عاليا ($H=100$) فان النموذج يبدو وكأنه متزن حراريا ، اذ ان خطوط درجات الحرارة لكلا الجزأين لا تبدي أي اختلاف يبعدها عن فرضية الاتزان الحراري ، كذلك يمكن ملاحظة اعلى تدرج درجات الحرارة يكون في الجزء السفلي بمحاذة السطح السفلي للتجويف بينما يكون اعلى تدرج درجات الحرارة بالنسبة للجسم المربع بمحاذة السطح العلوي والجدران العمودية ، دلالة على اكبر فقدان حرارة يكون في الجزء السفلي للتجويف واكبر اكتساب حرارة يكون في اعلى وجانبي الجسم المربع .



الشكل (2) : خطوط درجات الحرارة للمائع (a) ، خطوط درجات الحرارة للصلب (b) ، خطوط الانسياب (c) عندما من الأعلى إلى الأسفل على التوالي $H=100,10,1.0,0.1$ ، $Kr=100$ ، $Ra^*=300$

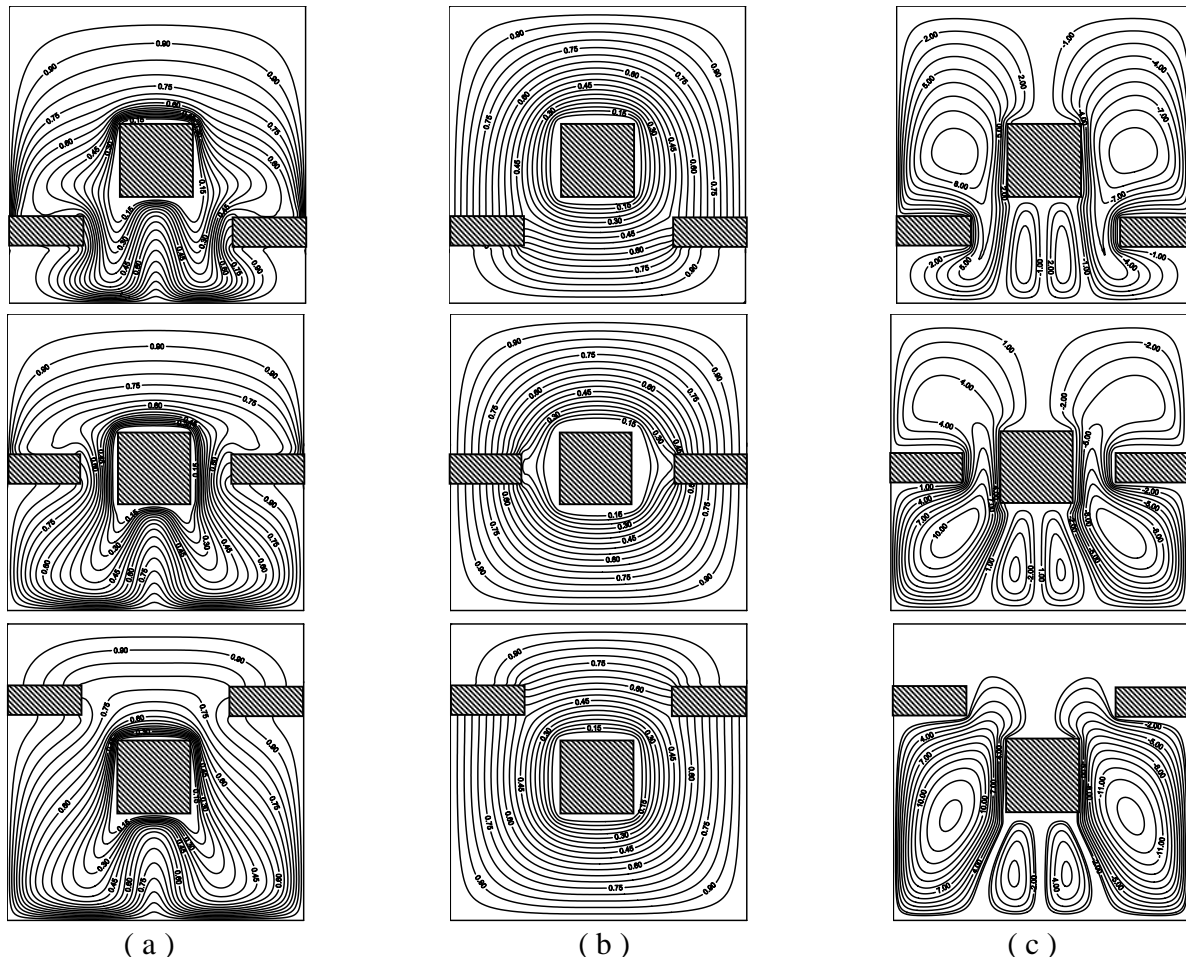
الشكل (3) يبيّن تأثير نسبة التوصيلية الحرارية بثبوت عدد رايلي المطور ($Ra^*=300$) ومعامل انتقال الحرارة المدرج ($H=100$) وكما هو الحال عند القيم العالية من معامل انتقال الحرارة المدرج فان النظام يعد متزنا حراريا عند القيم المرتفعة من نسبة التوصيلية الحرارية . لكن عند التقليل من نسبة التوصيلية الحرارية إلى ($Kr=10$) فان تدرج درجات الحرارة يكون اقل مما سبق ويكون التزاحم في خطوط درجات الحرارة عند الطبقات المتاخمة اقل كلما انخفضت نسبة

ال搘صيلية الحرارية . يمكن ملاحظة ذلك من توزيع خطوط درجات الحرارة للجزأين المائع والصلب في الجزء السفلي للتجويف وكذلك في أعلى وجاني الجسم المربع ، ويمكن ملاحظة ميلان خطوط درجات الحرارة بشكل عام اصبح أقل والخطوط تصبح أقل انفراجا نحو الجدران . عند تقليل Kr إلى 1 و 0.1 نلاحظ تأثير أكثر لخطوط درجات الحرارة وتقليل في المساحة التي تشغله الطبقات المتاخمة . أما بالنسبة لخطوط الانسياب فيمكن ملاحظة اخذ حفارات أوسع دلالة على سرعة أقل كلما ابتعدت على مركز دوران الخلية وهذا يدل على ضعف الحمل الطبيعي نتيجة التقليل في معامل搘صيلية الحرارية .



الشكل (3) : خطوط درجات الحرارة للمائع (a) ، خطوط درجات الحرارة للصلب (b) ، خطوط الانسياب (c)
عندما $Ra^* = 300$ ، $Kr = 50, 10, 1.0, 0.1$ ، $H = 100$

الشكل (4) يبين تأثير تغير موقع الحاجزين الاقفين بثبوت عدد رايلي ومعامل انتقال الحرارة المدرج ونسبة التوصيلية الحرارية . في البداية نلاحظ وبالمقارنة مع الاشكال السابقة بان زيادة عدد رايلي مقارنة مع الشكل السابق يؤدي إلى تحول الجريان إلى متعدد الخلايا (multicellular flow) دلالة على نشاط الحمل الطبيعي بزيادة عدد رايلي ، اما تأثير موقع الحاجزين لنفس عدد رايلي، فنلاحظ عندما تكون الحواجز في اسفل التجويف سيؤدي إلى القليل في المساحة التي تشغله الطبقات المتاخمة وخاصة عند السفلي للتجويف بالمقارنة مع موقع الحاجزين في وسط واعلى التجويف وكذلك يمكن ملاحظة عرقلة الجريان وخاصة للخلايا الثانوية في اسفل التجويف بسبب وجود الحواجز . اما عند وضع الحاجزين في اعلى التجويف يتبيين شمول منطقة واسعة للطبقة المتاخمة بمحاذاة السطح السفلي والجدران العموديان للتجويف . كذلك من ملاحظة مجال خطوط الانسياب نجد بان اعلى قيمة لدالة الجريان (Ψ_{\max}) تكون اعلى عند مقارنتها مع قيمتها عندما تكون الحواجز في وسط وفي اسفل التجويف ، ويمكن مشاهدة حرية الحركة لدى خلايا الحمل عندما تكون الحواجز في اعلى التجويف .



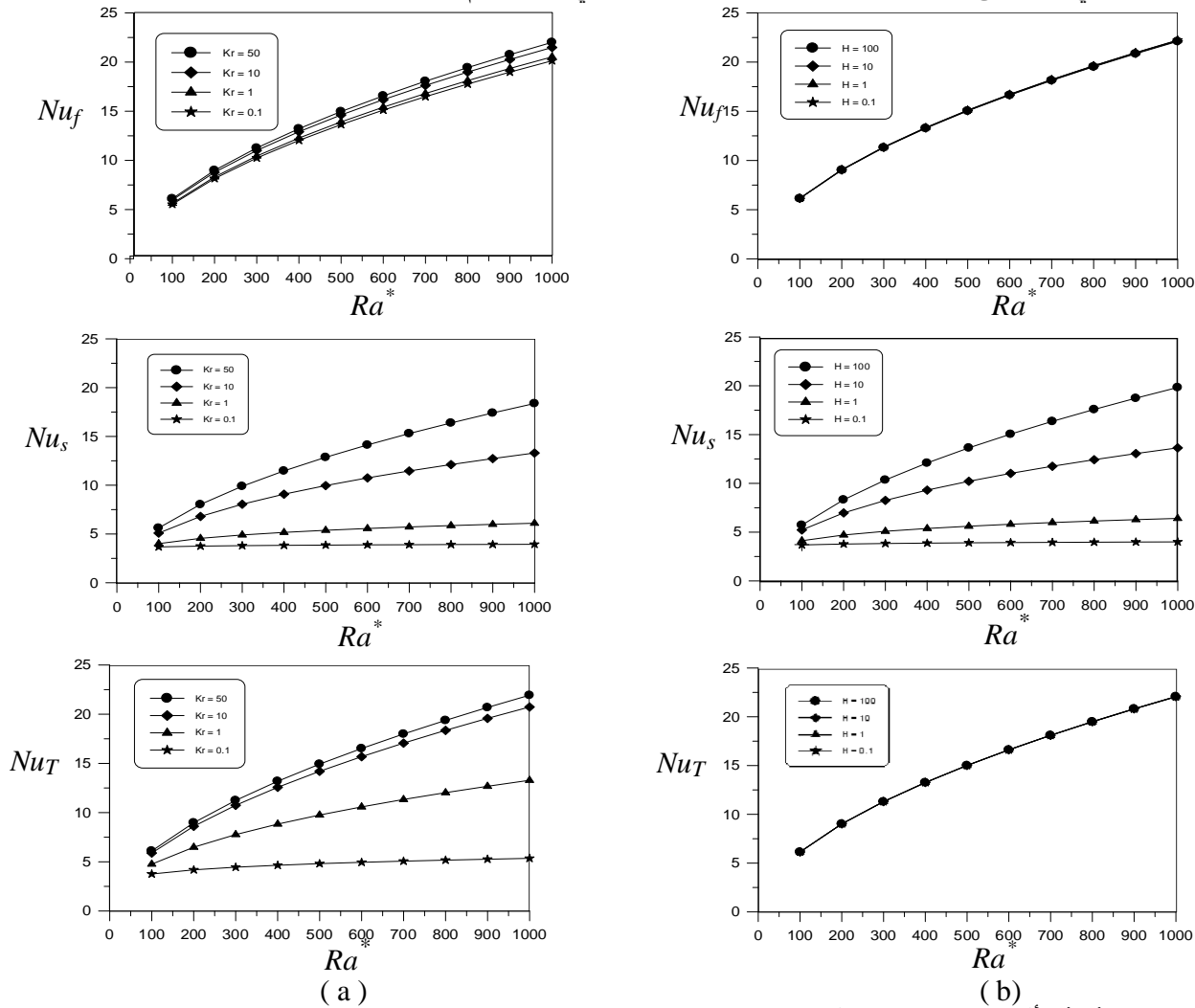
الشكل (4) : خطوط درجات الحرارة للمائع (a) ، خطوط درجات الحرارة للصلب (b) ، خطوط الانسياب (c) عندماموقع مختلفة للحواجز $yp=0.25, 0.5, 0.75$ Kr=0.1, H= 100, $Ra^*=500$

مجالات انتقال الحرارة ومعدل عدد نسلت :

يمكن الاستدلال على كمية انتقال الحرارة من معرفة التغير في عدد نسلت في عدد نسلت نتيجة تغير معلمات المسألة .
ففي الشكل (5) يبين تأثير تغير عدد رايلي المطور مع عدد نسلت للجزء الصلب والمائع والكلي وعندما يكون موقع الحاجزين في اسفل التجويف . في الشكل نلاحظ زيادة عدد نسلت لكل الاجزاء (الصلب،المائع،الكلي) مع زيادة عدد

رائيلي وعند قيم مختلفة من التوصيلية الحرارية وقيم مختلفة من معامل انتقال الحرارة المدرج . في الشكل (5-a) نلاحظ بان فرق الزيادة في معدل عدد نسلت للجزء المائع يكون قليل في اعداد رائيلي الفليلة عند تغير التوصيلية الحرارية وعند زيادة عدد رائيلي نلاحظ فرق اكبر في زيادة معدل عدد نسلت للجزء المائع بتغير التوصيلية الحرارية . اذ نلاحظ زيادة معدل عدد نسلت بزيادة التوصيلية الحرارية، أي في حالة الاقتراب من حالة الاتزان الحراري يكون اعلى معدل لعدد نسلت اما بالنسبة للجزء الصلب فنلاحظ فرق الزيادة يكون اكبر وخاصة عند اعداد رائيلي الكبيرة . وبالتالي ستكون المحصلة لعدد نسلت الكلي ستتغير بتغير قيم التوصيلية الحرارية .

الشكل (5-b) يبين تأثير تغير عدد رائيلي المطور على اعداد نسلت عند قيم مختلفة من معامل انتقال الحرارة المدرج بثبوت نسبة التوصيلية الحرارية ($Kr=100$) وموقع الحاجزين في اسفل التجويف . يلاحظ من الشكل بان عدد نسلت للجزء المائع لا يتاثر كثيراً بتغير معلم انتقال الحرارة المدرج بسبب القيمة المرتفعة لنسبة التوصيلية الحرارية . اما معدل عدد نسلت للجزء الصلب فيكون اكثر استجابة لذلك التغير اذ يزداد معدل عدد نسلت للجزء الصلب بزيادة معامل انتقال الحرارة المدرج وذلك لزيادة كمية الحرارة المتباينة بين الجزاين بسبب صغر مقاومة الحمل . اما معدل عدد نسلت الكلي فإنه يتصرف بصورة مشابهة تماماً لمعدل عدد نسلت للجزء المائع . اذ انه كلما زادت نسبة التوصيلية الحرارية كان معدل عدد نسلت الكلي اقرب الى عدد نسلت للجزء الصلب كما هو مبين في معادلة رقم (34) .

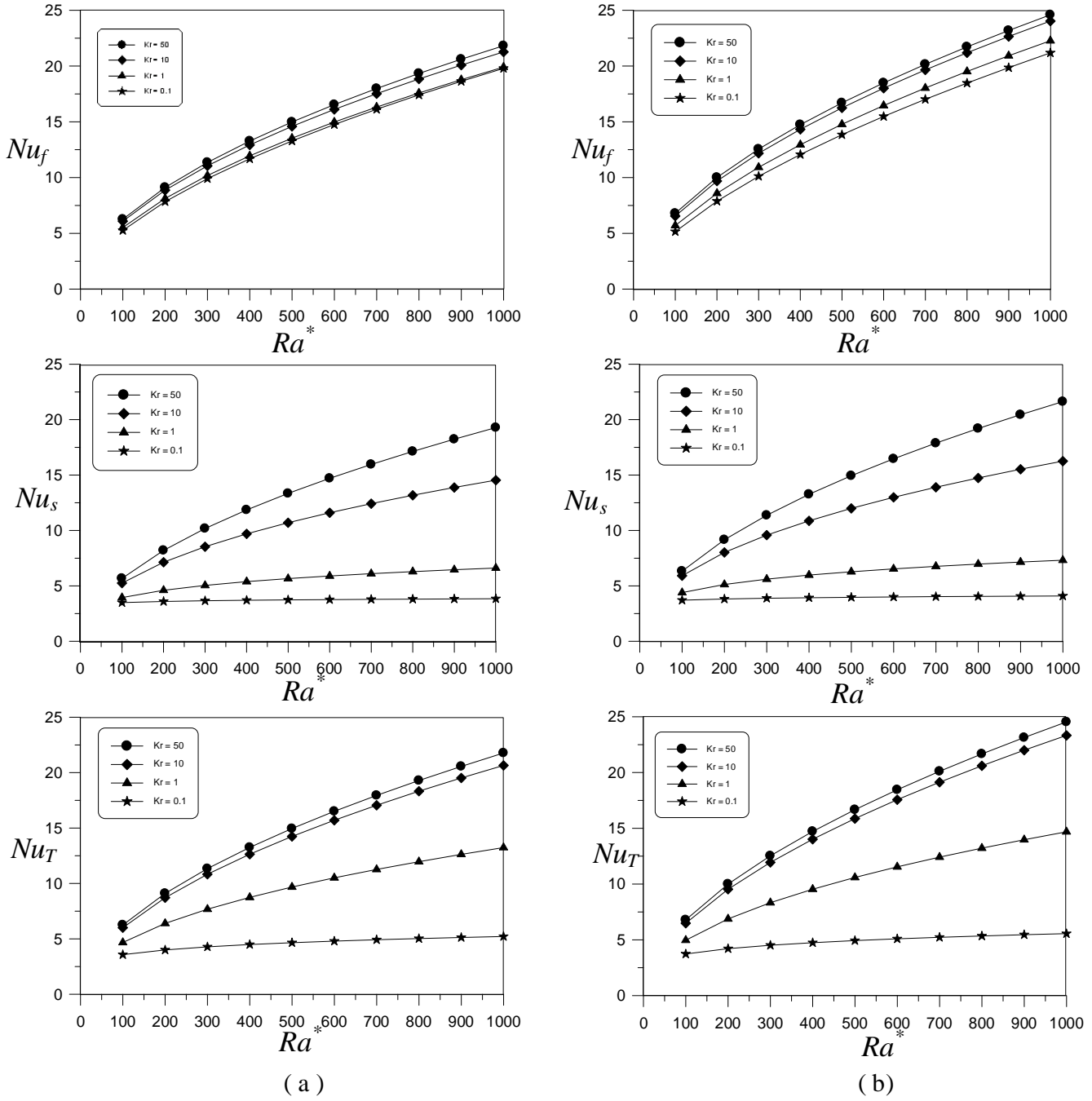


الشكل (5) تأثير تغير عدد رائيلي المطور مع معدل عدد نسلت للمائع ، عدد نسلت للصلب و عدد نسلت الكلي

عند $H = 100$ (a) وقيم مختلفة من التوصيلية الحرارية Kr

عند $Kr = 100$ (b) وقيم مختلفة من معامل انتقال الحرارة المدرج

الشكل(6) (a,b) يبين تأثير موقع الحواجز الافقية على معدل عدد نسلت . وبالمقارنة مع الشكل السابق نلاحظ بان معدل عدد نسلت (الصلب،المائع،الكلي) يزداد كلما وضعت الحواجز الافقية في اعلى التجويف اي يكون اقل قيمة عند ($Y_p=0.25$) ويزداد إلى ان يصل إلى اعلى قيمة عند ($Y_p=0.75$) والسبب في ذلك اشير إليه سابقاً بمناقشة خطوط درجات الحرارة .



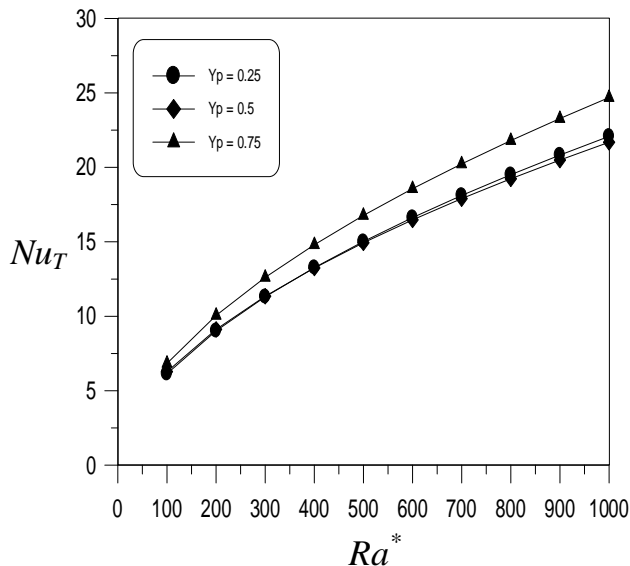
الشكل (6) تأثير تغير عدد رايلي المطورو مع معدل عدد نسلت للمائع ، عدد نسلت للصلب و عدد نسلت الكلي

عند $Y_p = 0.5$ (a) $H=100$ $Kr = 50, 10, 1, 0.1$

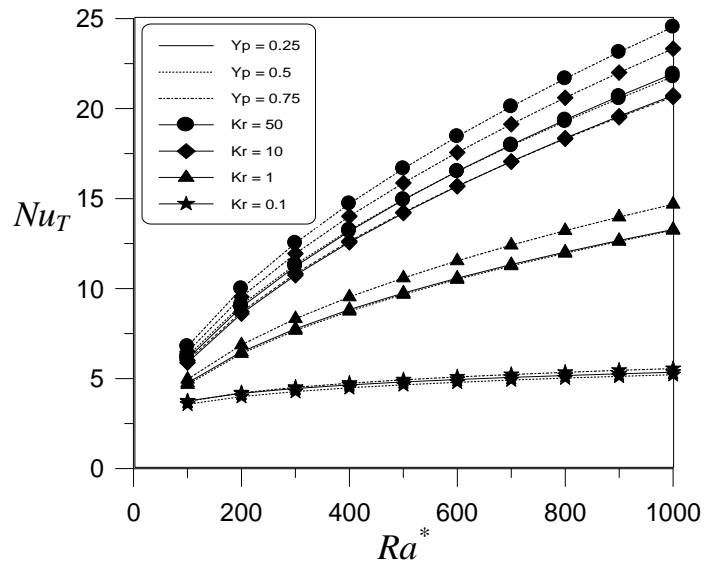
عند $Y_p = 0.75$ (b) $Kr = 50, 10, 1, 0.1$

الشكل (7) يبين تأثير تغير عدد رايلي المطهور مع معدل عدد نسلت الكلي لقيم مختلفة من التوصيلية الحرارية وثبوت معامل انتقال الحرارة المدرج ($H=100$) ولموقع مختلف للحاجزين الافقين . نلاحظ من الشكل عندما تكون هناك تقارب بين معدل عدد نسلت الكلي وباختلاف موقع الحاجزين . اما عند زيادة Kr نلاحظ فرق في معدل عدد نسلت وخاصة عند اعداد رايلي الكبيرة . مع زيادة Kr إلى 50 نلاحظ بذن اعلى فرق لمعدل عدد نسلت لموقع الحاجز المختلفة ، اذ تكون اعلى قيمة عند وجود الحاجز في اعلى الحيز $Y_p = 0.75$ ومن ثم الحالة الوسطية $Y_p = 0.5$ واقل قيمة عند $Y_p = 0.25$.

الشكل (8) يبين تأثير تغير عدد رايلي المطهور مع عدد نسلت الكلي عند ثبوت $Kr = 100$ و $H = 100$ ولموقع مختلف للحاجزين الافقين . من الملاحظ للحالة الواحدة أي ثبوت Kr و H تقارب بين قيم معدل عدد نسلت الكلي عندما يكونان الحاجزين الافقين في الوسط وفي اسفل التجويف ، بينما يبين الشكل با ان هناك فرق ملحوظ عندما تكون الحاجز في اعلى التجويف .



الشكل (8) تأثير تغير عدد رايلي المطهور مع معدل عدد نسلت الكلي عندما $Kr = 100$ و $H = 100$ ولموقع مختلف للحاجزين الافقين



الشكل (7) تأثير تغير عدد رايلي المطهور مع معدل عدد نسلت الكلي لقيم مختلفة من التوصيلية الحرارية Kr و $H=100$ ولموقع مختلف للحاجزين الافقين

الاستنتاجات :

يمكن تلخيص الاستنتاجات بالنقاط التالية :

- عند اخذ قيم عالية لنسبة التوصيلية الحرارية ومعامل انتقال الحرارة المدرج تجعل الوسط المسامي اقرب إلى فرضية الاتزان الحراري .
- يزداد معدل عدد نسلت (الصلب ، الماء، الكلي) بزيادة عدد رايلي المطهور مع ملاحظة ان الزيادة تكون اكبر عند القيم العالية من نسبة التوصيلية الحرارية ومعامل انتقال الحرارة المدرج .
- يقتصر تأثير معامل انتقال الحرارة المدرج على عدد نسلت للجزء الصلب لأن نسبة التوصيلية الحرارية اخذت عالية نسبياً في هذه الدراسة .
- زيادة نسبة التوصيلية الحرارية بثبوت عدد رايلي المطهور تسبب زيادة قيم جميع اعداد نسلت .
- اعلى منطقة تبادل حراري سوف يكون في الجزء السفلي للتجويف فعدن وضع الحاجزين الافقين في الجزء السفلي سيفقل من عملية انتقال الحرارة .
- يزداد معدل عدد نسلت الكلي مع تحريك الحاجزين نحو الاعلى بثبوت عدد رايلي ، مع ملاحظة زيادة ملحوظة عند وضع الحاجز في اعلى التجويف .

المصادر

- 1.Cheng, P., " Heat Transfer in Geothermal Systems, Adv. Heat Transfer", 14, pp. 1-105, 1978.
2. Bejan, A., Convection Heat Transfer, Wiley – Interscience Publication, Joun Wiley & Sons, Inc., 1995.
- 3.Prasad, V., " Thermal Convection in a Rectangular Cavity Filled With a Heat-Generating, Darcy Porous Medium ", J. Heat Transfer, 109, pp. 697-703, 1987.
4. Chan, B. K., Ivey, C. M., and Barry, J. M.," Natural Convection in Enclosed Porous Media With Rectangular Boundaries", J. Heat Transfer, 92, pp. 21-27, 1970.
- 5.Hussein, A.," Effect of Non-Darcian Flow on Natural Convection in Partitioned Enclosure", Ph.D. Thesis, university of Mosul, 2001.
6. Al-Tamemy,M., "Numerical study of Natural Convection in Porous Enclosure with Multi- Obstructions", M.Sc. Thesis, University of Mosul, 2003
7. Al-Ani, O. B. H.," Natural Convective Heat Transfer from Rectangular Isothermal Body Embedded in Confined Porous Medium", M. Sc. Thesis, Mosul Univ. 1998.
8. Facas, G. N.," Reducing the Heat Transfer From a Hot Pipe Buried in a Semi-Infinite Saturated, Porous Medium", J. Heat Transfer, 116, pp. 473-476, 1994.
- 9.Radi,M.K., "Numerical Study of Heat Transfer by a Natural Convection of Porous Layer Using Non-Equilibrium Model", M.Sc. Thesis , Mosul University.2007.
- 10.Saied ,N.H., "Analysis of Mixed Convection in a Vertical Porous Layer Using Non-Equilibrium Model ",Int.J. Heat Mass Transfer,47, pp.5619-5627,2004.
- 11.Chapra,S.c.and Canale,R.P., "Numerical Methods for Engineering", McGraw-Hill,NewYork2002.
12. Borse,G. J., FORTRAN77 and Numerical Method for Engineering, McGraw- Hill Book Company, Inc., 1985.